

建設省土木研究所 浅野富夫  
建設省土木研究所 野口 正  
建設省土木研究所 加賀谷均

## 1. はじめに

ランドサット・MSSデータによる水質観測については、従来よりその可能性が示唆されている。たとえば、環境庁国立公害研究所<sup>1)</sup>では、透明度・クロロフィルα等について検討を行い、平面分布推定の可能性を示している。また、著者ら<sup>2), 3)</sup>も、近年霞ヶ浦を対象として調査し、個別的には（ランドサットの飛来日ごとに回帰式はもちろんパラメーターも異なるものの）何らかのパラメーターにより、透明度・SS・クロロフィルα等の水質の平面分布を推定してきた。一方、航空機に搭載されたMSS（6～12チャンネル）による水質観測の可能性についても、霞ヶ浦を対象とした前記公害研究所の安岡ら<sup>4)</sup>あるいは中海を対象とした京都大学の井岡ら<sup>5)</sup>が検討を行っている。しかしながら、以上の検討はいずれも数少ない観測に基づくものであり、ランドサット・MSSデータと地上データとの相関関係について、その普遍性はあまり明確にされていない。

このような状況に鑑み、本報告では、霞ヶ浦を対象として、緑地検出によく使用されるパラメーター<sup>6)</sup>とクロロフィルαの観測値との相関性について調査するとともに、これらの相関性を改善する方法について若干の検討を行っている。

## 2. ランドサット・MSSデータと地上データとの相関

図-1は、本調査で対象とした霞ヶ浦の概略である。図中の○印はクロロフィルαの観測地点（8箇所）を表している。検討に使用した地上データ<sup>7)</sup>とランドサット・MSSデータ（宇宙開発事業団提供）との対応にあたっては、MSSの検出要素ごとにその出力特性に若干の差があることを考慮して、 $6 \times 6$ 個のMSSデータの平均値をランドサット・データとしている。なお、地上データの観測日とランドサット・データの撮影日とは、表-1に示されるように、必ずしも一致していない。

いま、宇宙開発事業団から提供されたバンド $i$  ( $i = 4, 5, 6, 7$ ) のMSSデータを $X_i$ とすると、緑地検出

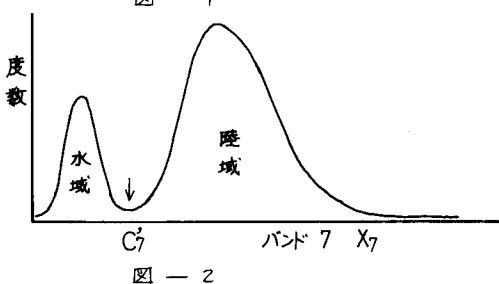
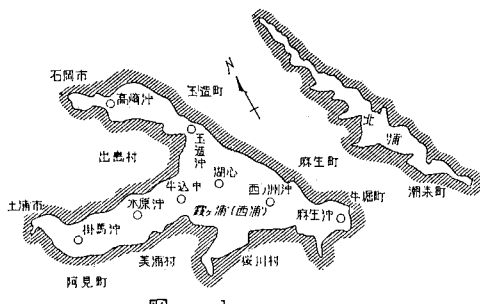


表-1

No.	ランドサット 飞来日	地上水質観測日
1	昭和54年5月21日	昭和54年5月21日
2	昭和54年12月14日	昭和54年12月10日
3	昭和55年1月19日	昭和55年1月14日
4	昭和55年2月6日	昭和55年2月12日
5	昭和55年8月13日	昭和55年8月6日
6	昭和55年11月11日	昭和55年11月10日
7	昭和55年12月17日	昭和55年12月8日
8	昭和56年1月4日	昭和56年1月7日
9	昭和56年1月22日	昭和56年2月4日
10	昭和56年2月9日	昭和56年2月4日
11	昭和56年2月27日	昭和56年3月4日
12	昭和56年3月17日	昭和56年3月4日

表-2

No.	$X_6/X_4$	$X_7/X_4$	$X_6/X_5$	$X_7/X_5$
1	-0.17	0.39	<b>0.86</b>	<b>0.76</b>
2	<b>-0.65</b>	0.22	-0.26	0.46
3	0.18	-0.03	0.11	-0.09
4	-0.09	<b>-0.78</b>	0.00	-0.60
5	0.57	<b>0.69</b>	0.47	<b>0.66</b>
6	0.32	-0.04	-0.16	0.00
7	-0.32	-0.07	-0.28	-0.06
8	0.03	0.29	<b>-0.76</b>	0.27
9	<b>-0.62</b>	0.40	-0.45	0.46
10	-0.40	-0.32	-0.36	-0.32
11	<b>-0.66</b>	<b>0.75</b>	-0.19	<b>0.79</b>
12	0.51	<b>0.72</b>	<b>0.75</b>	<b>0.77</b>

表-3

No.	$X_4/X_6$	$X_4/X_7$	$X_5/X_6$	$X_5/X_7$
1	-0.48	-0.48	<b>0.64</b>	<b>0.65</b>
2	<b>0.77</b>	<b>0.76</b>	<b>0.71</b>	<b>0.72</b>
3	0.50	0.41	0.21	0.13
4	<b>0.62</b>	0.48	0.40	0.27
5	-0.37	-0.37	-0.47	-0.44
6	0.27	-0.40	0.33	0.35
7	<b>0.87</b>	<b>0.86</b>	0.59	<b>0.64</b>
8	0.29	0.57	<b>-0.71</b>	0.17
9	0.32	0.42	0.21	<b>0.67</b>
10	-0.07	-0.04	-0.13	-0.07
11	<b>0.73</b>	<b>0.83</b>	<b>0.75</b>	<b>0.86</b>
12	0.44	0.38	0.44	0.30

表-4

No.	$X_4/X_6$	$X_4/X_7$	$X_5/X_6$	$X_5/X_7$
1	-81	-81	<b>154</b>	<b>310</b>
2	<b>124</b>	<b>146</b>	<b>83</b>	<b>89</b>
3	270	262	68	53
4	<b>220</b>	179	80	56
5	-55	-87	-78	-706
6	57	-83	73	100
7	<b>277</b>	<b>379</b>	213	<b>246</b>
8	40	90	-356	61
9	33	67	28	<b>95</b>
10	-8	-6	-14	-10
11	<b>79</b>	<b>100</b>	<b>82</b>	<b>76</b>
12	40	41	39	28

によく用いられる  $X_6/X_4$ ,  $X_7/X_4$ ,  $X_6/X_5$ ,  $X_7/X_5$  と地上データとの相関係数は表-2 のように表される。しかしながら、相関性の高い組み合わせは各データについて一致しておらず、また 10% の危険度（相関係数が 0.62 以上）をもつても、「相関あり」といえる組み合わせは少なく、その正負はケースにより大きく異なる。

### 3. 普通回帰式の検索（ランドサット・MSS データの基準化の試み）

一般に、ランドサット・MSS データは、地上の対象物体が反射あるいは放射する電磁波が同一であっても、撮影時の太陽高度、大気中の水蒸気量等により、その絶対値を異にする。このような特性は、上記相関係数に大きな影響を与え、さらに回帰係数相違の有力原因にあげられている。ここでは、バンドアのデータに関するヒストグラム（図-2）より、水域と陸域との境界値  $C_i$  を決め ( $X_7 \leq C_i$ : 水域,  $X_7 > C_i$ : 陸域)、これに基づき境界線を推測し、この境界線に接する陸域の平均値  $C_i$  ( $i = 4, 5, 6, 7$ ) を用いて、ランドサット・MSS データを次のように変形し、相関係数改善と回帰式の安定性の向上とを試みた。

$$x_i = 100 (C_i - X_i) / C_i \quad (i = 4, 5, 6, 7)$$

表-3 は、このようにして得られた MSS データと地上データとの相関係数を示したものであって、表-2 に較べ、相関性がかなり改善されているようである。とくに、全体として相関係数は各パラメーターについてそのほとんどが正となり、表-2 のような正負のバラツキは少なくなっている。しかし、データによる相関係数のバラツキは除去されず、普通的なパラメーターを見出すことはできない。ただし、相関性の高いものについては回帰式における比例係数は、表-4（太字は相間が高くかつ正の値をとるもの）に示されるように、比較的バラツキは小さく、季節ごとに普通回帰式が得られる可能性が示唆されている。

### 4. おりに

本報告の作成にあたっては、東京理科大学の大西先生及び（財）リモート・センシング技術センターの田中氏との討議が大いに参考となった。ここに記して、謝意を表します。

参考文献 ① 安岡：国立公害研究所研究発表会予稿集, PP. 96-106, 1979. ② 馬場・浅野・二階堂：土木学会関東支部年次研究発表会講演概要集, PP. 53-54, 1981. ③ 馬場・池村・浅野・二階堂：土木技術資料, 23, 3, PP. 39-43, 1987. ④ 安岡・宮崎：国立公害研究所 特別研究成果報告, R-7, PP. 48-66, 1977. ⑤ 井岡・福間：農業土木学会大会講演会講演要旨集, PP. 161-162, 1981. ⑥ 村井・建石・河崎：生産研究, 19, 3, PP. 4-12, 1980. ⑦ 茨城県：昭和 54, 55 年度公共用水域の水質測定結果, 1980, 1981.